

Redes Neurais Artificiais Aplicadas à Geração de Chaves Criptográficas Binárias

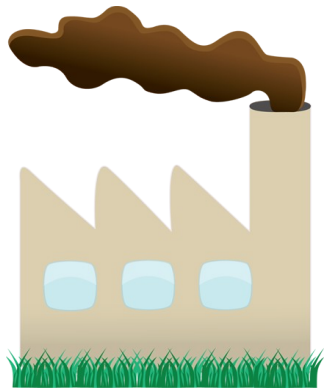
Gustavo Pasqua de Oliveira Celani
Marcelo Vinícius Cysneiros Aragão



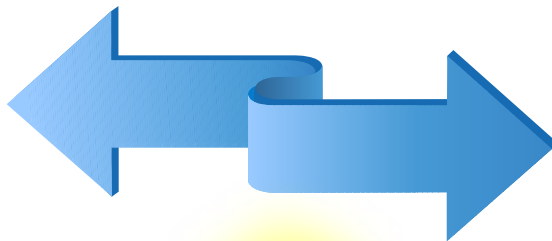
- Introdução
- Objetivos e contribuições do trabalho
- Revisão da Teoria
- Revisão da Bibliografia
- Proposta
- Experimentos
- Resultados
- Conclusão



Introdução



Era Industrial



Patrimônio
Intelectual



Era da Informação
(Era Digital)

→ **Usuários** podem ser alvo de ataques tanto **diretamente** quanto **indiretamente**

→ Perda de dados se torna algo **catastrófico**

G1

ECONOMIA

TECNOLOGIA

Uber admite que omitiu ataque hacker que roubou dados de 57 milhões de usuários em 2016

Incidente atingiu informações tanto de motoristas quanto passageiros; informação foi revelada nesta terça-feira (21) pelo novo presidente da companhia.

Por G1

21/11/2017 20h52 - Atualizado há 11 meses

InfoMoney

POR **RODRIGO TOLOTTI UMPIERES** - EM **MERCADOS / BITCOIN** - 19 DEZ, 2017 19H28

Corretora de Bitcoin sul-coreana declara falência após ataque hacker

Este é o segundo ataque hacker em oito meses e, desta vez, a companhia perdeu 17% de suas reservas de ativos

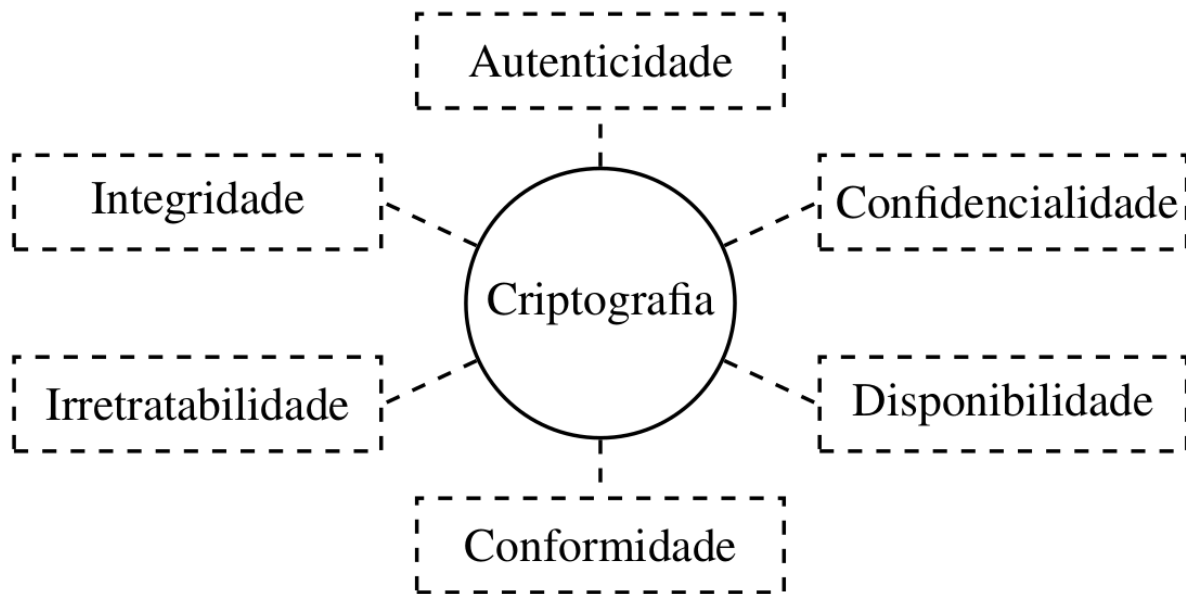


Dados



Segurança da
Informação (SI)

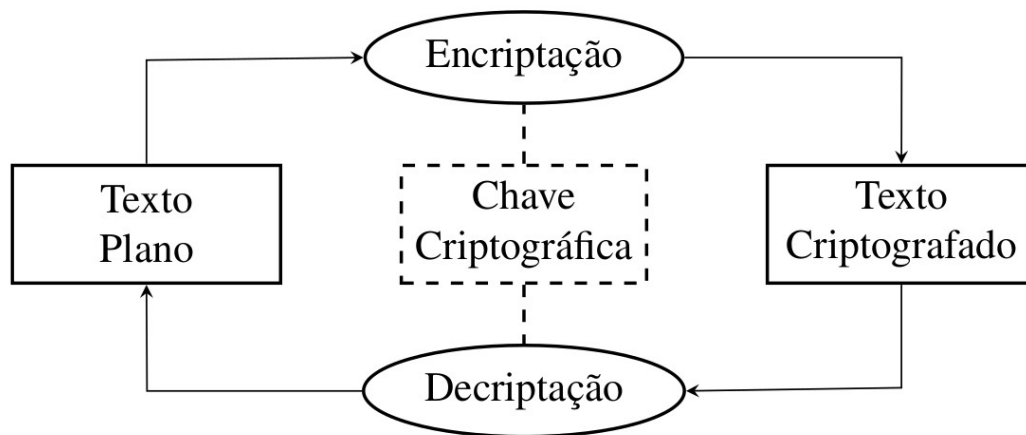
→ A **criptografia** é uma das principais ferramentas da Segurança da Informação



- Os algoritmos de criptografia necessitam de **uma ou mais chaves**
- As chaves criptográficas têm a função de parametrizar as operação dos algoritmos
- **Somente uma chave** (ou conjunto) é capaz de descriptografar uma mensagem

Exemplo:

- Criptografia simétrica
- Uma chave envolvida
- Chave compartilhada



- A maneira mais comum de gerar chaves é utilizando valores **pseudoaleatórios**
- Para garantir a pseudoaleatoriedade, é necessário colher **entropia** do sistema

```
gustavo@GustavoCelani-PC:~$ gpg --generate-key
gpg (GnuPG) 2.2.4; Copyright (C) 2017 Free Software Foundation, Inc.
This is free software: you are free to change and redistribute it.
There is NO WARRANTY, to the extent permitted by law.
```

```
Note: Use "gpg --full-generate-key" for a full featured key generation dialog.
```

```
GnuPG needs to construct a user ID to identify your key.
```

```
Real name: Gustavo
Email address: gustavo@mailserver.com
You selected this USER-ID:
"Gustavo <gustavo@mailserver.com>"
```

```
change (N)ame, (E)mail, or (O)ther ID:
We need to generate a lot of random bytes. It is a good idea to perform
some other action (type on the keyboard, move the mouse, utilize the
disks) during the prime generation; this gives the random number
generator a better chance to gain enough entropy.
```

```
We need to generate a lot of random bytes. It is a good idea to perform
some other action (type on the keyboard, move the mouse, utilize the
disks) during the prime generation; this gives the random number
generator a better chance to gain enough entropy.
```

```
gpg: key 1AF3B3A05D532FF1 marked as ultimately trusted
gpg: revocation certificate stored as '/home/gustavo/.gnupg/openpgp-revocs.d/A43
public and secret key created and signed.
```

```
pub  rsa3072 2018-11-11 [SC] [expires: 2020-11-10]
    A4328983DFB120AFB8267CF31AF3B3A05D532FF1
uid          Gustavo <gustavo@mailserver.com>
sub  rsa3072 2018-11-11 [E] [expires: 2020-11-10]
```

```
We need to generate a lot of random bytes. It is a good idea to perform
some other action (type on the keyboard, move the mouse, utilize the
disks) during the prime generation; this gives the random number
generator a better chance to gain enough entropy.
```

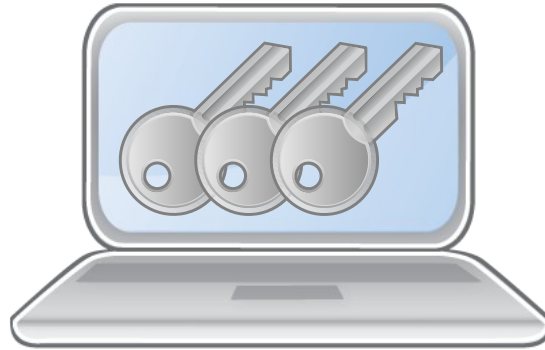


- A quantidade de entropia é diretamente proporcional ao **tamanho da chave**
- Sistemas com **fontes de entropia limitadas** se tornam ineficientes



Objetivos e Contribuições do Trabalho

- **Gerar chaves** criptográficas binárias utilizando criptografia neural
- Procedimento **metrificado** com base nos parâmetros necessários
- Gerar chaves com **tamanho arbitrário** de forma otimizada
- Apontar **potenciais melhorias** nos modelos atualmente propostos



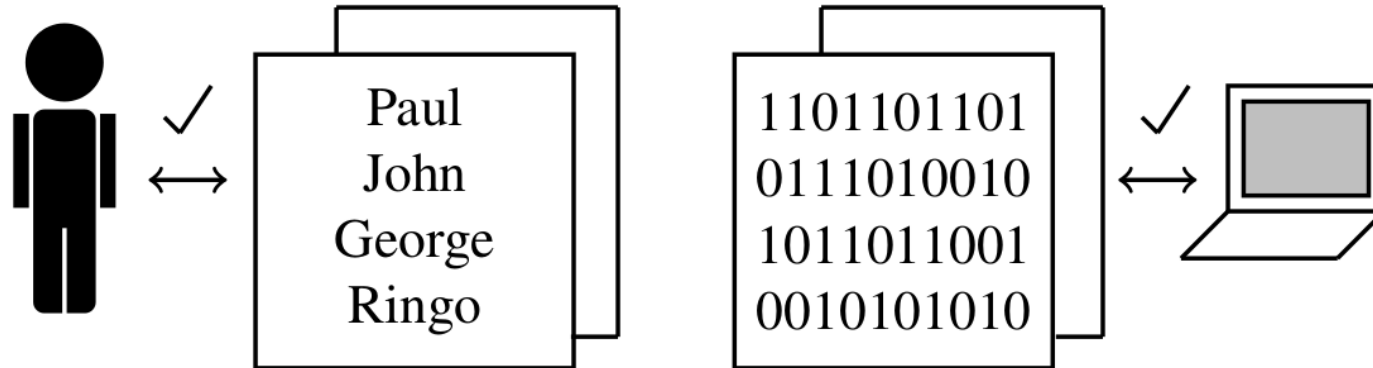
Revisão da Teoria

- Segurança da Informação
- Criptografia
- Chaves Criptográficas
- Criptografia Neural
- Redes Neurais Artificiais



Segurança da Informação

→ **Informação** é tudo aquilo considerado relevante o suficiente para ser **processado** ou **armazenado**, tanto por humanos, quanto por máquinas



→ Mecanismos de defesa **físicos**:

- Infraestrutura
- Blindagem
- Restrição de acesso
- Vigilantes

Mecanismos de defesa **lógicos**:

- Protocolos de comunicação
- Certificação digital
- Garantia de integridade (*hashing*)
- *Firewall* de rede
- *Proxy* de rede
- Anti-virus
- **Criptografia**

Criptografia

→ Funcionamento



A

→ Funcionamento



A



B

→ Funcionamento



→ Funcionamento

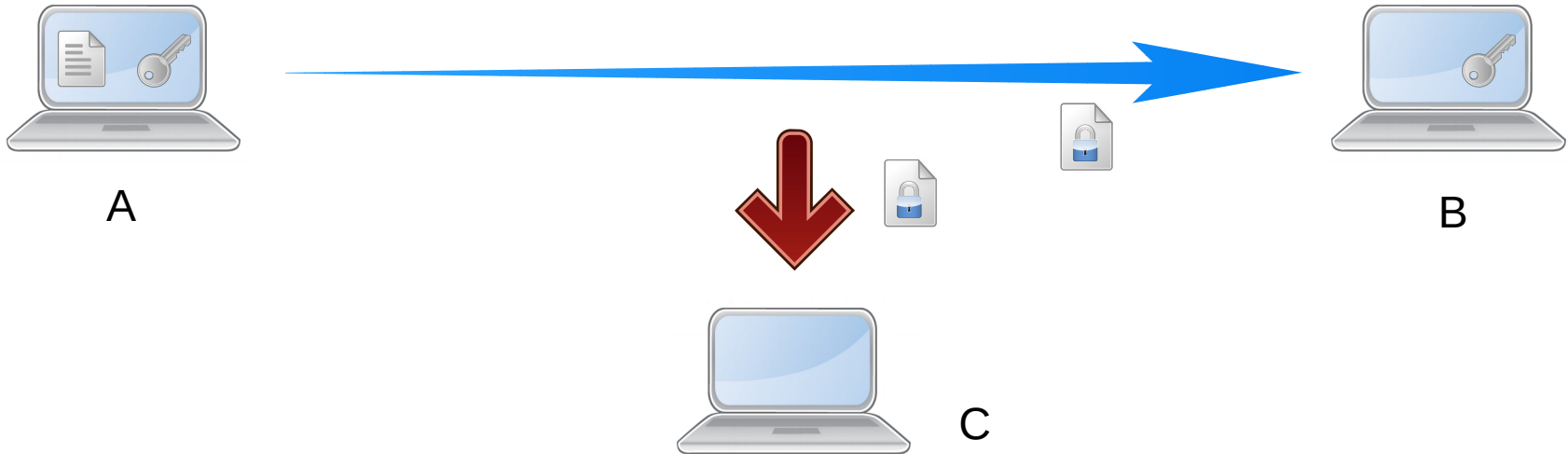


A



B

→ Funcionamento



→ Funcionamento



A



B



C

Algoritmos Criptográficos Relevantes

- **Cifra de César** – Chave inteira
- ***Data Encryption Standard (DES)*** – Chave de 64 bits
- ***Blowfish*** – Chaves de até 448 bits
- ***Twofish*** – Chave de 256 bits
- ***Triple DES (3DES)*** – Chave de 64 bits
- ***Cast-128 (Cast5)*** – Chave de até 128 bits
- ***Cast-256 (Cast6)*** – Chave de até 256 bits
- ***Advanced Encryption Standard (AES)*** – Chave de 256 bits



Chaves Criptográficas

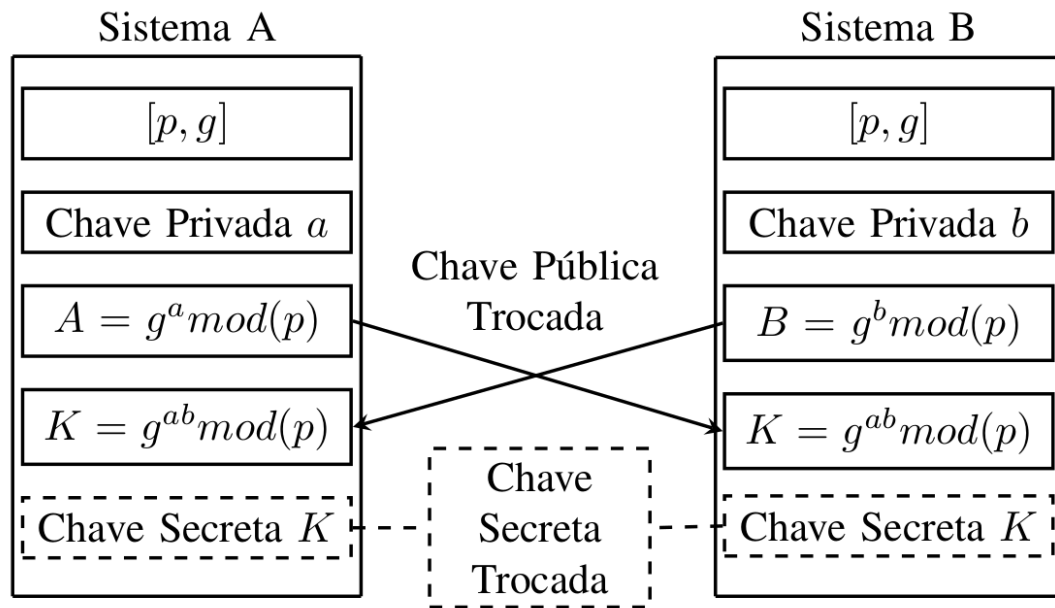
→ Chave pública



→ Chave privada



→ Protocolo Diffie-Hellman

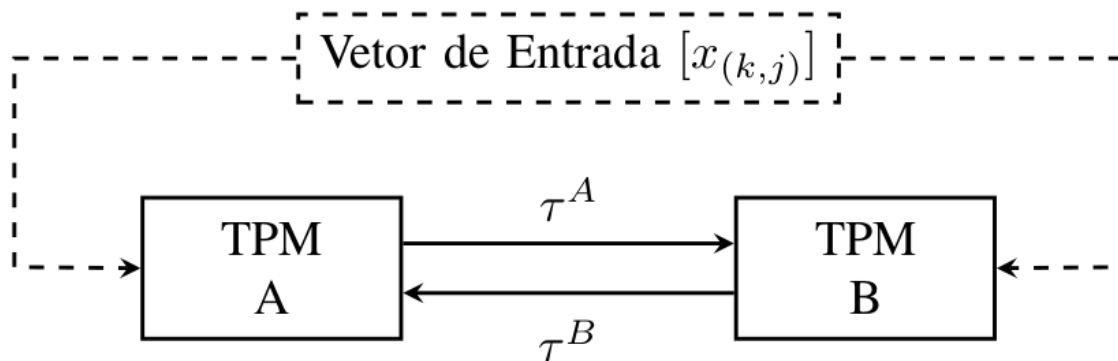


Inatel
Instituto Nacional de Telecomunicações

-
- O gráfico mostra a quantidade de combinações possíveis (C) em função do tamanho da chave (n) em bits. A curva representa a equação $C = 2^n$. O eixo vertical é logarítmico, com marcas em 10^1 , 10^{16} e 10^{31} . O eixo horizontal é linear, com marcas em 8, 16, 32, 64 e 128 bits.
- | Tamanho da chave (n) [em bits] | Quantidade de combinações (C) |
|------------------------------------|---------------------------------------|
| 8 | $2^8 = 256$ |
| 16 | $2^{16} = 65,536$ |
| 32 | $2^{32} \approx 4,295 \times 10^9$ |
| 64 | $2^{64} \approx 1,845 \times 10^{19}$ |
| 128 | $2^{128} \approx 3,4 \times 10^{38}$ |

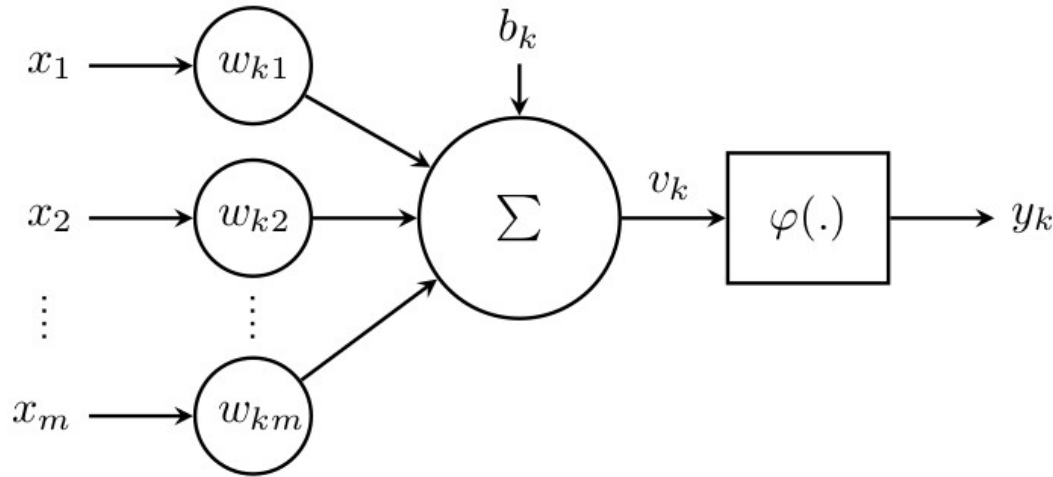
Criptografia Neural

- Utiliza redes neurais artificiais na **geração** e **troca** de chaves criptográficas
- Utiliza uma configuração de rede neural artificial chamada **Tree Parity Machine**
- Explora a **sincronização mútua** entre duas *Tree Parity Machines*
- **Vetores de entrada** compartilhados
- **Vetor de pesos sinápticos** são as chaves resultantes ao final da sincronização

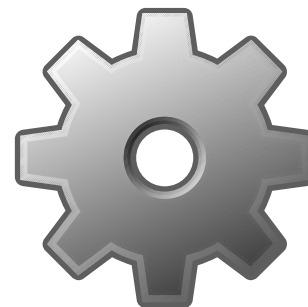


Redes Neurais Artificiais

- Reproduzir computacionalmente o processamento realizado pelo **cérebro** humano
- Agregação de unidades discretas baseadas em **neurônios** biológicos



- **Tree Parity Machine**
- **Multilayer**: Possui múltiplas camadas
- **Feedforward**: Saídas não realimentam neurônios anteriores
- Parâmetros necessários:
 - **K**: Número de neurônios na camada escondida
 - **N**: Número de entradas para cada neurônio
 - **L**: Faixa de valores possíveis para os pesos sinápticos

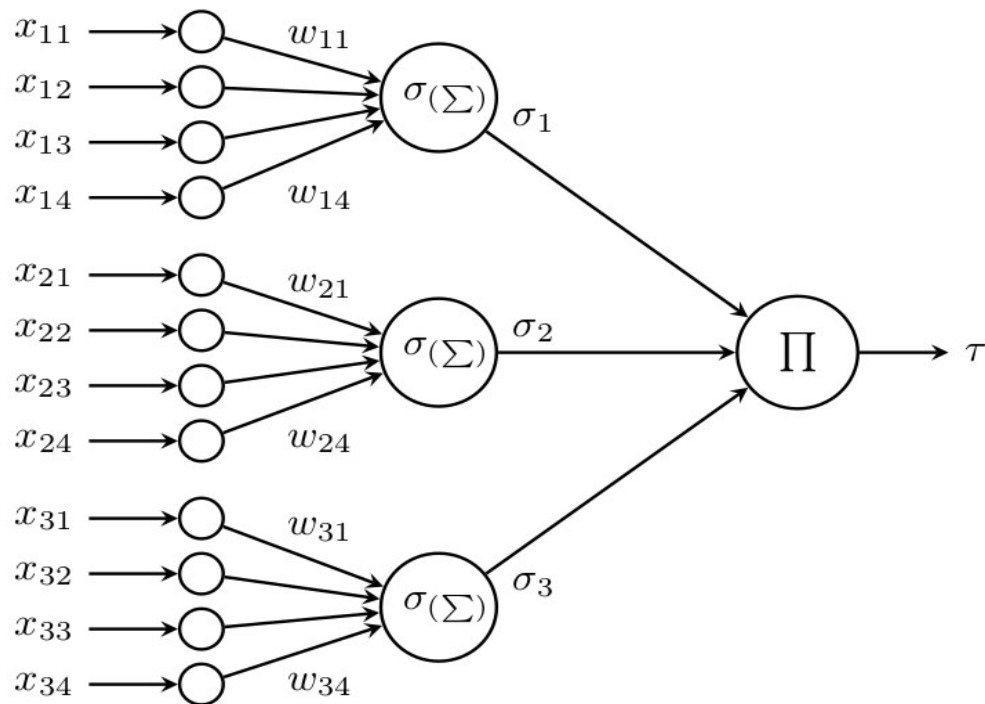


→ **Tree Parity Machine**

→ Exemplo:

→ $K = 3$

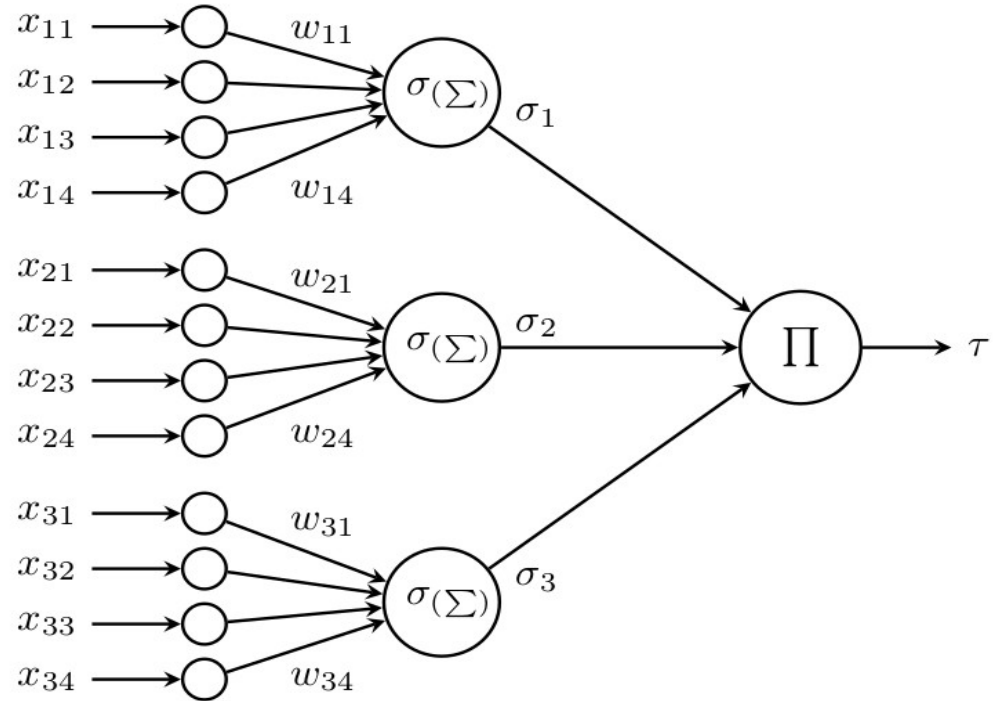
→ $N = 4$



→ **Tree Parity Machine**

→ Saída:

$$\tau^{A/B} = \prod_{k=1}^K \sigma_k^{A/B} = \prod_{k=1}^K \sigma \left(\sum_{n=1}^N w_{k,n}^{A/B} \times x_{k,n}^{A/B} \right)$$



Revisão Bibliográfica

- Gerar chaves utilizando características **biométricas** como fonte de **entropia**
- Características consideradas **únicas** obtidas em seres vivos
- Tornam o procedimento **mais aleatório**
- Estreitamente **dependente** de entradas externas
- **Monrose et al. (2001)**
- **Chang et al. (2004)**
- Captura de voz
- Captura de imagens faciais
- Impressão digital
- Identificação de iris



- Em 2007, **Ruttor** propôs a técnica de sincronização entre *Tree Parity Machines* baseando-se em seus aprendizados mútuos
- Os pesos sinápticos são **inicializados aleatoriamente**
- Saídas eram compartilhadas
- Caso as saídas coincidissem, a **regra de aprendizado** era aplicada
- O **critério de parada** era a igualdade de ambos os vetores de pesos sinápticos
- Estudo com relação aos principais ataques:
 - Ataque simples
 - Ataque geométrico
 - Ataque de maioria
 - Ataque genético



- **Piazzentin** realizou um estudo baseado em Ruttor no ano de 2011
- Foram analisados os parâmetros em relação a segurança aos ataques:
- **K**: Número de neurônios na camada escondida
- **N**: Número de entradas para cada neurônio
- **L**: Faixa de valores possíveis para os pesos sinápticos
- O próprio autor afirma que o **desempenho não pôde ser aferido**
- Utilização de linguagem de alto nível (**Python**)
- Não foi possível definir uma **configuração ideal** para os parâmetros estudados



- **Revankar et al.** propôs um mecanismo de **entrada dinâmica** em 2010
- As entradas **dependem do estado atual** da *Tree Parity Machine*

$$h_k = \frac{1}{\sqrt{N}} \times \sum_{l=1}^L (c_{k,+l} - c_{k,-l})$$

- A **sincronização** utilizando as consultas propostas ocorreu **mais rápida**
- Quantidade de **informação trocada** entre as redes foi **maior**
- **Tempo total de geração da chave foi maior** do que quando utilizados vetores de entrada pseudoaleatórios

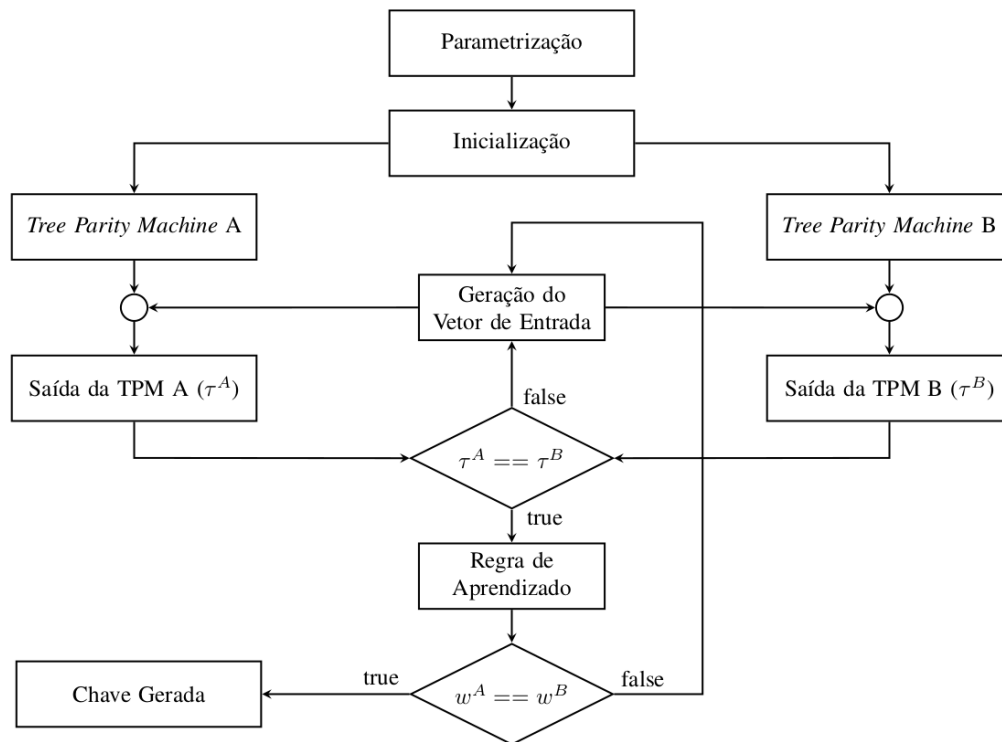
- **Allam e Abbas** (2010)
- Técnica de transmissão de **conteúdo falso** durante o processo de sincronização
- Durante a sincronização, são enviadas mensagens errôneas baseadas nas **distâncias estimadas** entre os pesos sinápticos das *Tree Parity Machines*
- Evita vários tipos de ataques

$$\left| h_k^{A/B} \right| = \left| \sum_{n=1}^N (w_{k,n}^{A/B} \times x_{k,n}^{A/B}) \right|$$

Proposta

- **Implementar** a rede neural artificial *Tree Parity Machine*
- Utilizar linguagem de programação **C**
- **Sincronizar** duas *Tree Parity Machines*
- Gerar chaves criptográficas binárias como resultado do processo
- Realizar **experimentos** com o objetivo de otimizar o processo





Metodologia

→ Regras de Aprendizado

→ *Hebbian*

$$W_{k,n}^{A/B} = w_{k,n}^{A/B} + x_{k,n} \tau^{A/B} \Theta(\tau^{A/B} \sigma_k^{A/B}) \Theta(\tau^A \tau^B)$$

→ *Anti-Hebbian*

$$W_{k,n}^{A/B} = w_{k,n}^{A/B} - x_{k,n} \sigma_k^{A/B} \Theta(\tau^{A/B} \sigma_k^{A/B}) \Theta(\tau^A \tau^B)$$

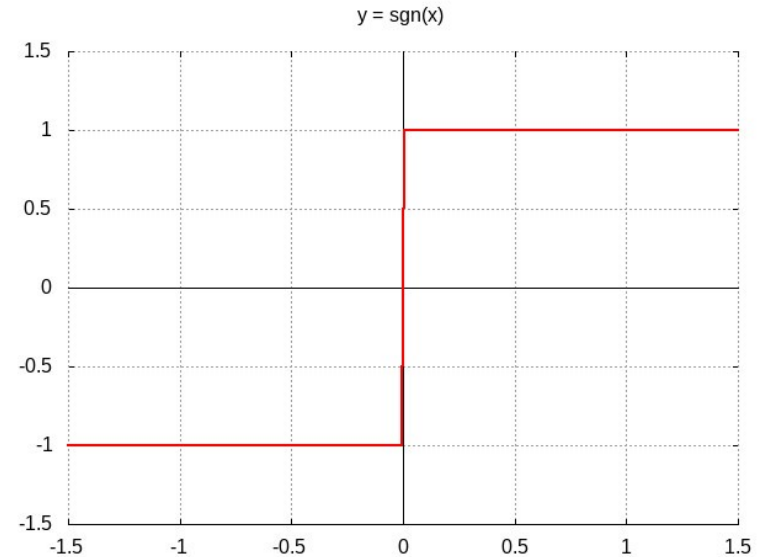
→ *Random Walk*

$$W_{k,n}^{A/B} = w_{k,n}^{A/B} + x_{k,n} \Theta(\tau^{A/B} \sigma_k^{A/B}) \Theta(\tau^A \tau^B)$$

→ Funções de Ativação

→ Sinal

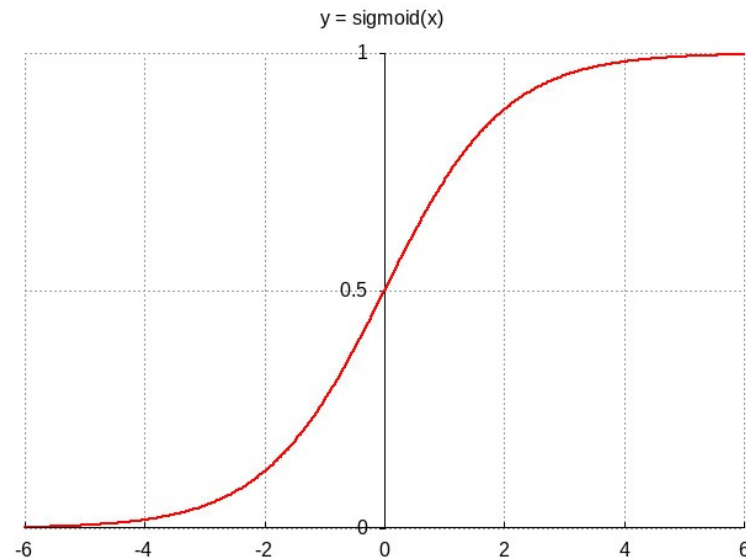
$$\varphi(x) := \begin{cases} -1 & \text{if } x \leq 0 \\ +1 & \text{if } x > 0 \end{cases}$$



→ Funções de Ativação

→ Sigmóide

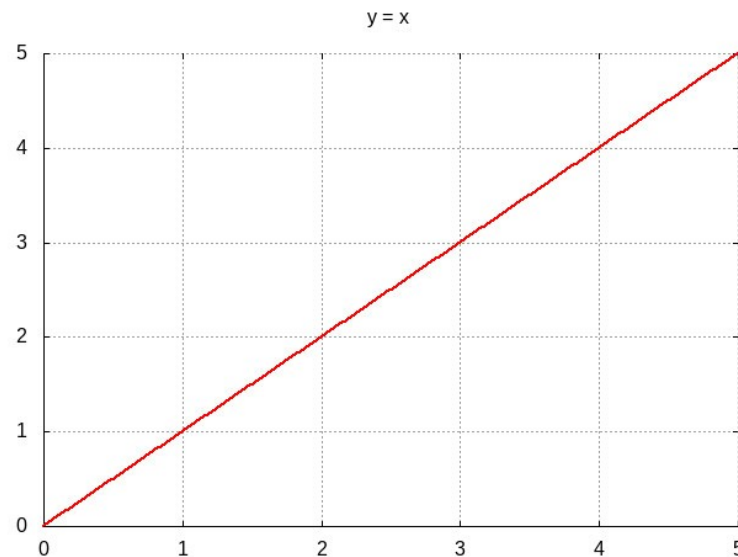
$$\varphi(x) = \frac{1}{1 + e^{-x}}$$



→ Funções de Ativação

→ Linear

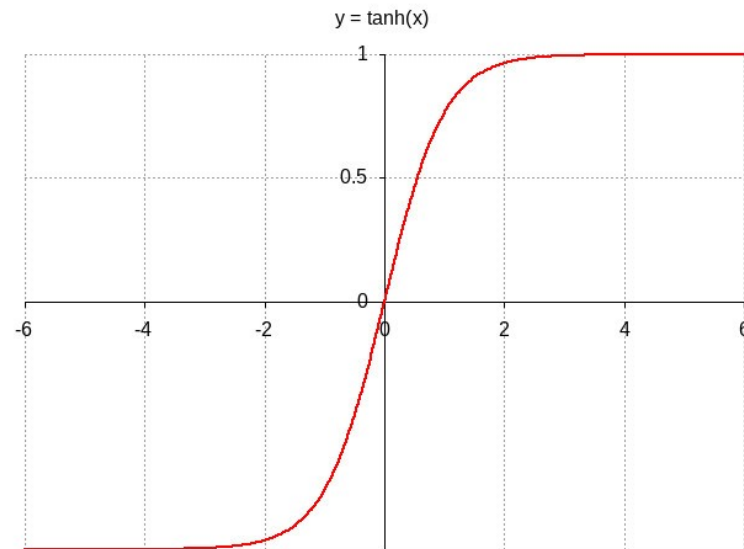
$$\varphi(x) = x$$



→ Funções de Ativação

→ Tangente Hiperbólica

$$\varphi(x) = \frac{e^x - e^{-x}}{e^x + e^{-x}}$$



→ Integridade dos Dados

- **Semente** de geração pseudo-aleatória fixada
- Cada configuração de *Tree Parity Machine* gerou **100 chaves consecutivas**
- Foram utilizadas chaves de **1Kib** (1024 bits)
- As métricas fazem referência à média aritmética dos valores obtidos no processo de geração de cada uma das 100 chaves



- **Métricas: Chaves repetidas**
- Número de chaves repetidas em cada conjunto
- Probabilidade de ocorrência de cada chave

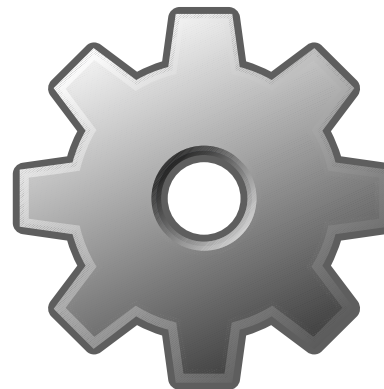
$$P_k[\%] = \frac{1}{2^{(K \times N)}} \times 100$$

→ **Métricas: Épocas de Treinamento**

→ Máximo

→ Mínimo

→ Média



→ **Métricas: Volume de dados**

→ Volume de dados trocados entre as duas *Tree Parity Machines* (em Bytes)

$$V[Bytes] = \frac{epochs_avg \times [(K \times N) + K + 2]}{8}$$

→ Métricas: Comprimento do vetor de entrada

$$I_{[K,N]} = (K \times N) + K$$

→ Métricas: Tempo de geração

→ Máximo

→ Mínimo

→ Média

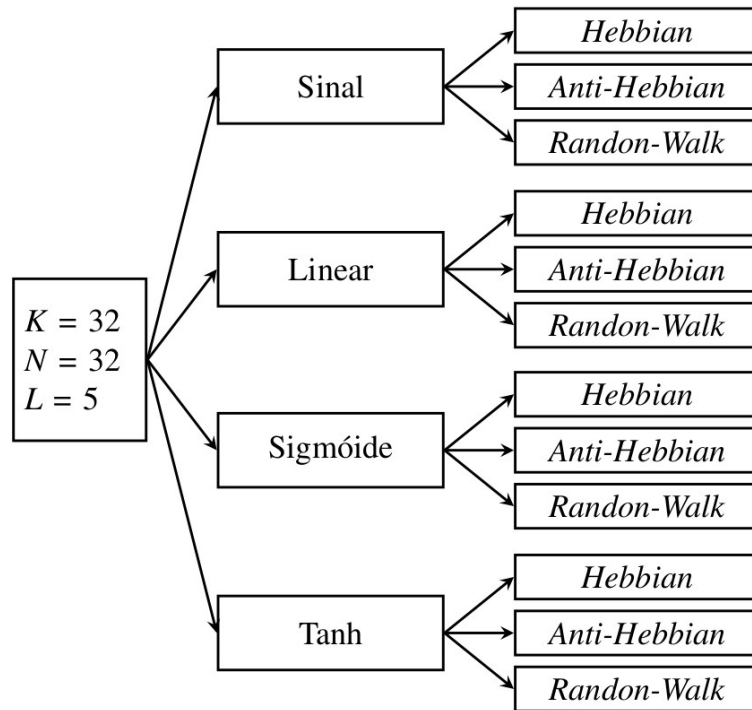
- Sistema Operacional: Xubuntu
- Processador: Intel(R) Core(TM) i7-5500U
- Clock Rate: 2.40 GHz
- Arquitetura: x86_64
- Núcleos: 4
- Memória RAM: 16 GB

Experimentos e Resultados

Experimento 1

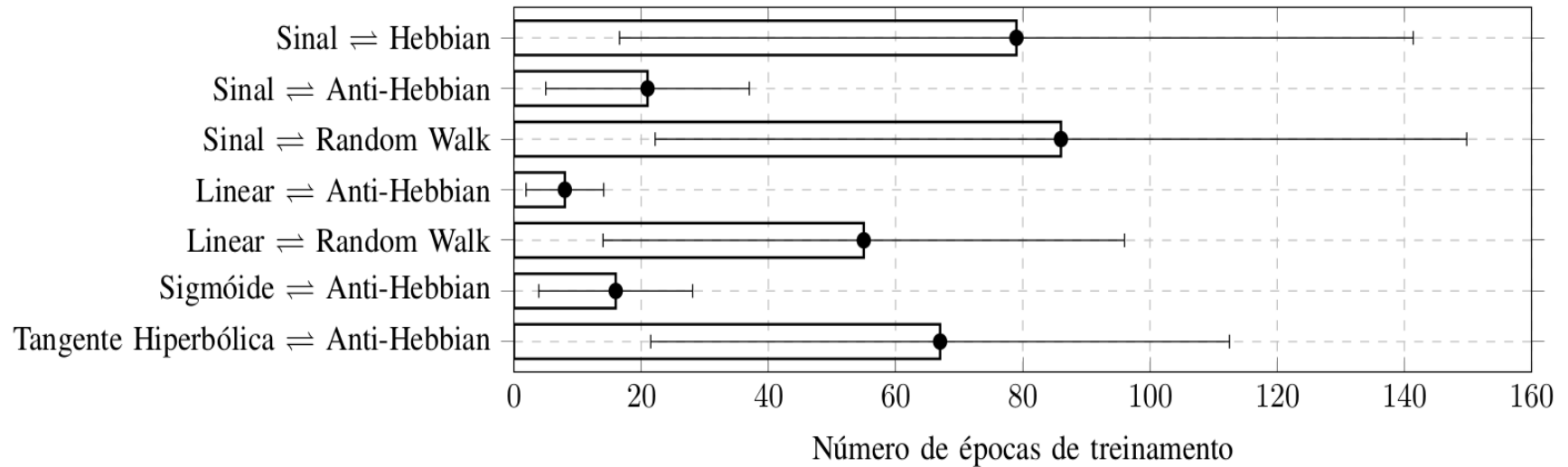
Experimento 1

→ Aferir influência das regras de aprendizado

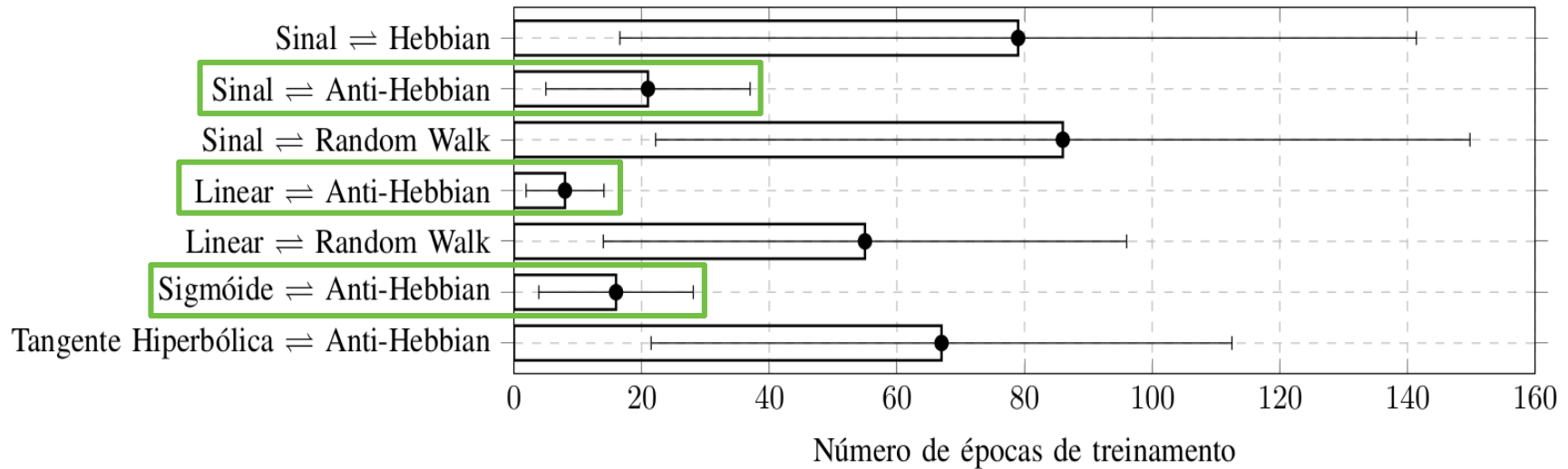


Configurações descartadas nas análises		
Função de Ativação	Regra de Aprendizado	Motivo do Descarte
Sigmóide	<i>Random Walk</i>	Não convergiu
Tangente Hiperbólica	<i>Random Walk</i>	Não convergiu
Sigmóide	<i>Hebbian</i>	Chaves repetidas
Linear	<i>Hebbian</i>	Chaves repetidas
Tangente Hiperbólica	<i>Hebbian</i>	Chaves repetidas

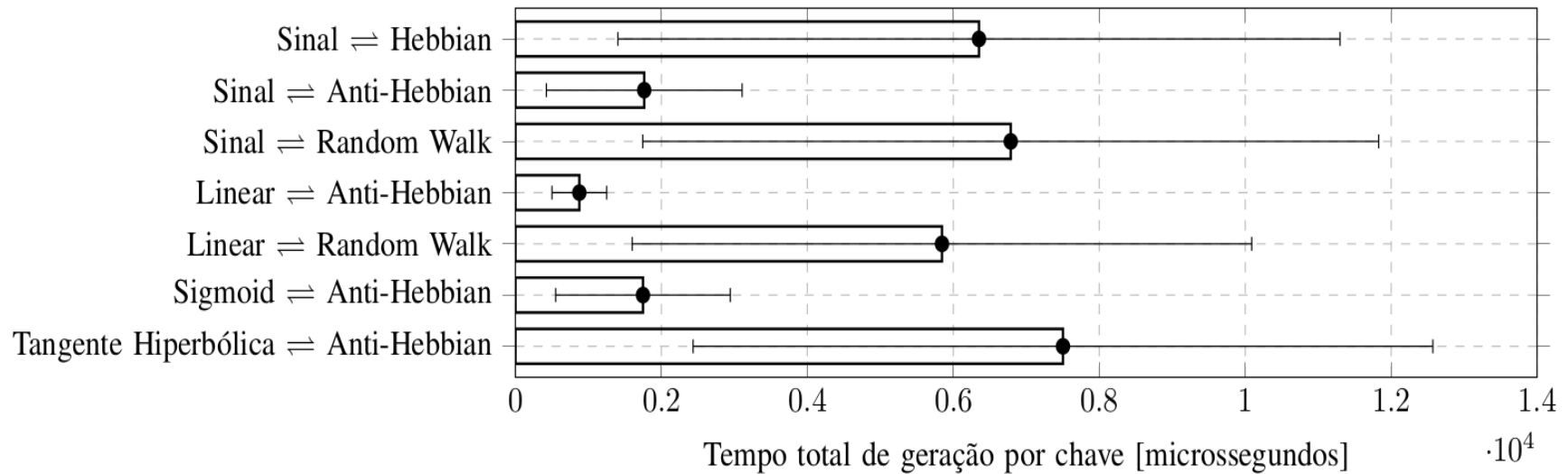
Experimento 1



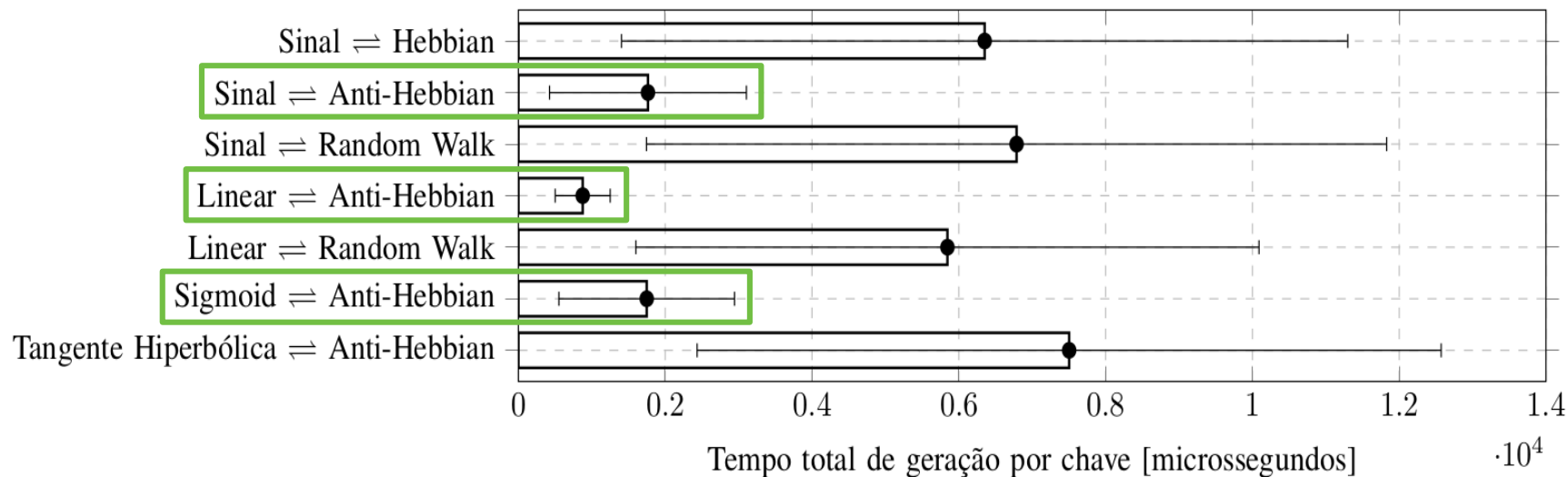
Experimento 1



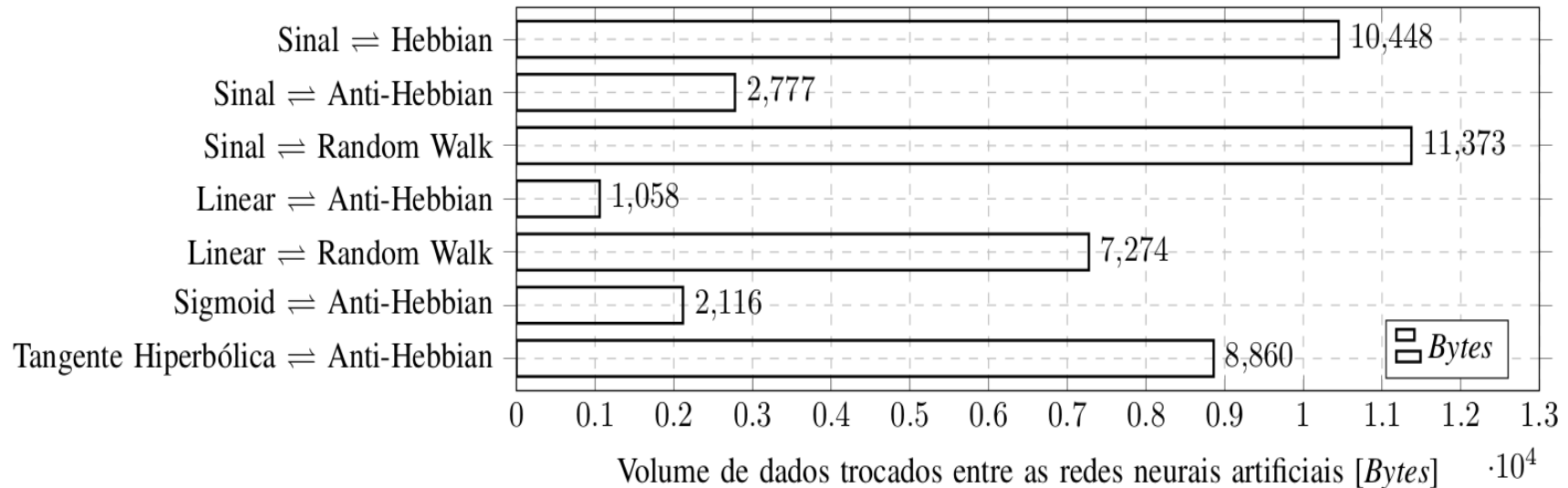
Experimento 1



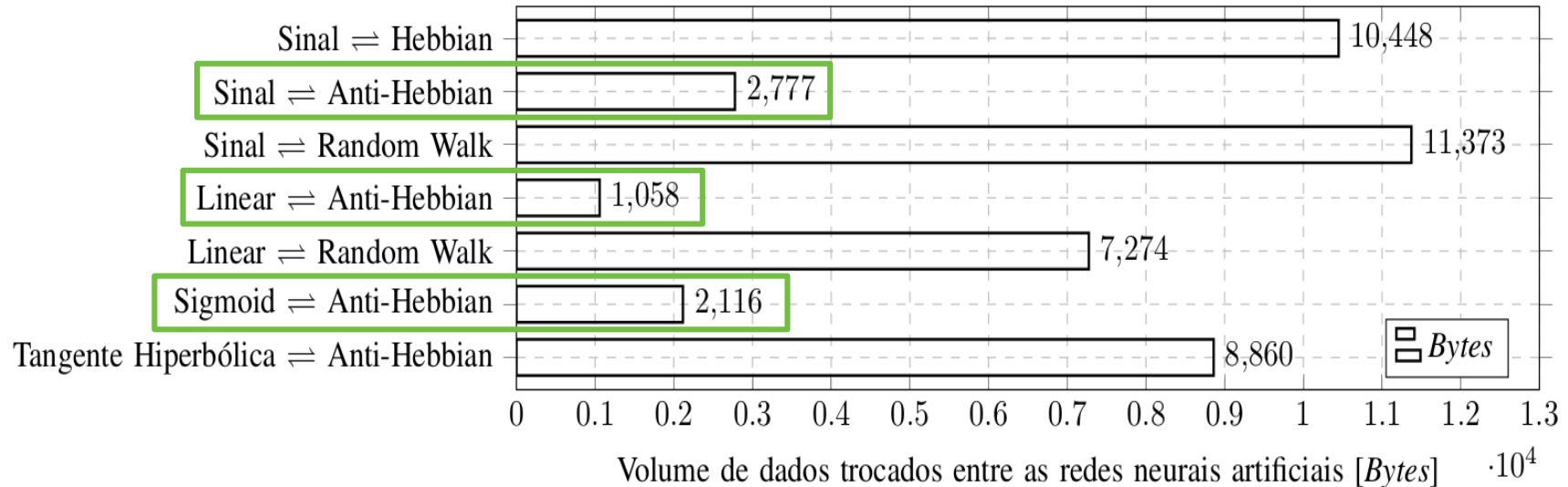
Experimento 1



Experimento 1



Experimento 1



Experimento 1

Resultados do Experimento 1

Função de Ativação	Regra de Aprendizado	Número de Épocas				Tempo [microsegundos]				Volume de Dados [Bytes]
		min	max	médio	σ	min	max	médio	σ	
Sinal	<i>Hebbian</i>	45	118	79	16.6	4007	12284	6352	1404.7	10448
	<i>Anti-Hebbian</i>	10	32	21	5	1085	4027	1765	423.9	2777
	<i>Random Walk</i>	45	178	86	22.2	3743	13932	6787	1745.2	11373
Linear	<i>Anti-Hebbian</i>	4	12	8	1.9	449	2969	876	501.6	1058
	<i>Random Walk</i>	30	95	55	14	3149	11533	5845	1600.6	7274
Sigmóide	<i>Anti-Hebbian</i>	9	26	16	3.9	1003	4453	1748	551.9	2116
Tangente Hiperbólica	<i>Anti-Hebbian</i>	32	141	67	21.5	3611	15981	7503	2434.7	8860

Experimento 1

Resultados do Experimento 1

Função de Ativação	Regra de Aprendizizado	Número de Épocas				Tempo [microsegundos]				Volume de Dados [Bytes]
		min	max	médio	σ	min	max	médio	σ	
Sinal	<i>Hebbian</i>	45	118	79	16.6	4007	12284	6352	1404.7	10448
	<i>Anti-Hebbian</i>	10	32	21	5	1085	4027	1765	423.9	2777
	<i>Random Walk</i>	45	178	86	22.2	3743	13932	6787	1745.2	11373
Linear	<i>Anti-Hebbian</i>	4	12	8	1.9	449	2969	876	501.6	1058
	<i>Random Walk</i>	30	95	55	14	3149	11533	5845	1600.6	7274
Sigmóide	<i>Anti-Hebbian</i>	9	26	16	3.9	1003	4453	1748	551.9	2116
Tangente Hiperbólica	<i>Anti-Hebbian</i>	32	141	67	21.5	3611	15981	7503	2434.7	8860

Experimento 1

Resultados do Experimento 1

Função de Ativação	Regra de Aprendizado	Número de Épocas				Tempo [microssegundos]				Volume de Dados [Bytes]
		min	max	médio	σ	min	max	médio	σ	
Sinal	<i>Hebbian</i>	45	118	79	16.6	4007	12284	6352	1404.7	10448
	<i>Anti-Hebbian</i>	10	32	21	5	1085	4027	1765	423.9	2777
	<i>Random Walk</i>	45	178	86	22.2	3743	13932	6787	1745.2	11373
Linear	<i>Anti-Hebbian</i>	4	12	8	1.9	449	2969	876	501.6	1058
	<i>Random Walk</i>	30	95	55	14	3149	11533	5845	1600.6	7274
Sigmóide	<i>Anti-Hebbian</i>	9	26	16	3.9	1003	4453	1748	551.9	2116
Tangente Hiperbólica	<i>Anti-Hebbian</i>	32	141	67	21.5	3611	15981	7503	2434.7	8860

Experimento 1

Resultados do Experimento 1

Função de Ativação	Regra de Aprendizado	Número de Épocas				Tempo [microsegundos]				Volume de Dados [Bytes]
		min	max	médio	σ	min	max	médio	σ	
Sinal	<i>Hebbian</i>	45	118	79	16.6	4007	12284	6352	1404.7	10448
	<i>Anti-Hebbian</i>	10	32	21	5	1085	4027	1765	423.9	2777
	<i>Random Walk</i>	45	178	86	22.2	3743	13932	6787	1745.2	11373
Linear	<i>Anti-Hebbian</i>	4	12	8	1.9	449	2969	876	501.6	1058
	<i>Random Walk</i>	30	95	55	14	3149	11533	5845	1600.6	7274
Sigmóide	<i>Anti-Hebbian</i>	9	26	16	3.9	1003	4453	1748	551.9	2116
Tangente Hiperbólica	<i>Anti-Hebbian</i>	32	141	67	21.5	3611	15981	7503	2434.7	8860

Experimento 1

Resultados do Experimento 1										
Função de Ativação	Regra de Aprendizado	Número de Épocas				Tempo [microsegundos]				Volume de Dados [Bytes]
		min	max	médio	σ	min	max	médio	σ	
Sinal	<i>Hebbian</i>	45	118	79	16.6	4007	12284	6352	1404.7	10448
	<i>Anti-Hebbian</i>	10	32	21	5	1085	4027	1765	423.9	2777
	<i>Random Walk</i>	45	178	86	22.2	3743	13932	6787	1745.2	11373
Linear	<i>Anti-Hebbian</i>	4	12	8	1.9	449	2969	876	501.6	1058
	<i>Random Walk</i>	30	95	55	14	3149	11533	5845	1600.6	7274
Sigmóide	<i>Anti-Hebbian</i>	9	26	16	3.9	1003	4453	1748	551.9	2116
Tangente Hiperbólica	<i>Anti-Hebbian</i>	32	141	67	21.5	3611	15981	7503	2434.7	8860

→ Conjuntos selecionados

[Sinal, Anti-Hebbian]

[Linear, Anti-Hebbian]

[Sigmóide, Anti-Hebbian]

Experimento 1

→ Conjuntos selecionados

[Sinal, **Anti-Hebbian**]

[Linear, **Anti-Hebbian**]

[Sigmóide, **Anti-Hebbian**]

Regra de aprendizado
mais eficiente

Anti-Hebbian

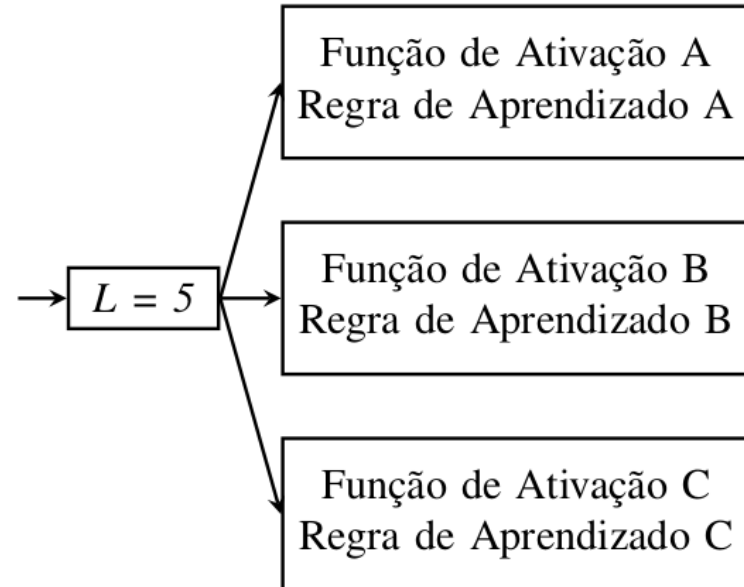


Experimento 2

Experimento 2

→ Aferir influência
de K e N

$C_i[k_i, n_i]$	
k_i	n_i
1	1024
2	512
4	256
8	128
16	64
32	32
64	16
128	8
256	4
512	2
1024	1



Configurações descartadas nas análises		
Função de Ativação	Regra de Aprendizado	Motivo do Descarte
<i>Sigmóide</i>	<i>Anti-Hebbian</i>	Não convergiu
<i>Linear</i>	<i>Anti-Hebbian</i>	Chaves repetidas

Experimento 2

- Parâmetros ótimos
- Regra de aprendizado: **Anti-Hebbian**
- Função de ativação: **Sinal**

Função de ativação
mais eficiente

Sinal



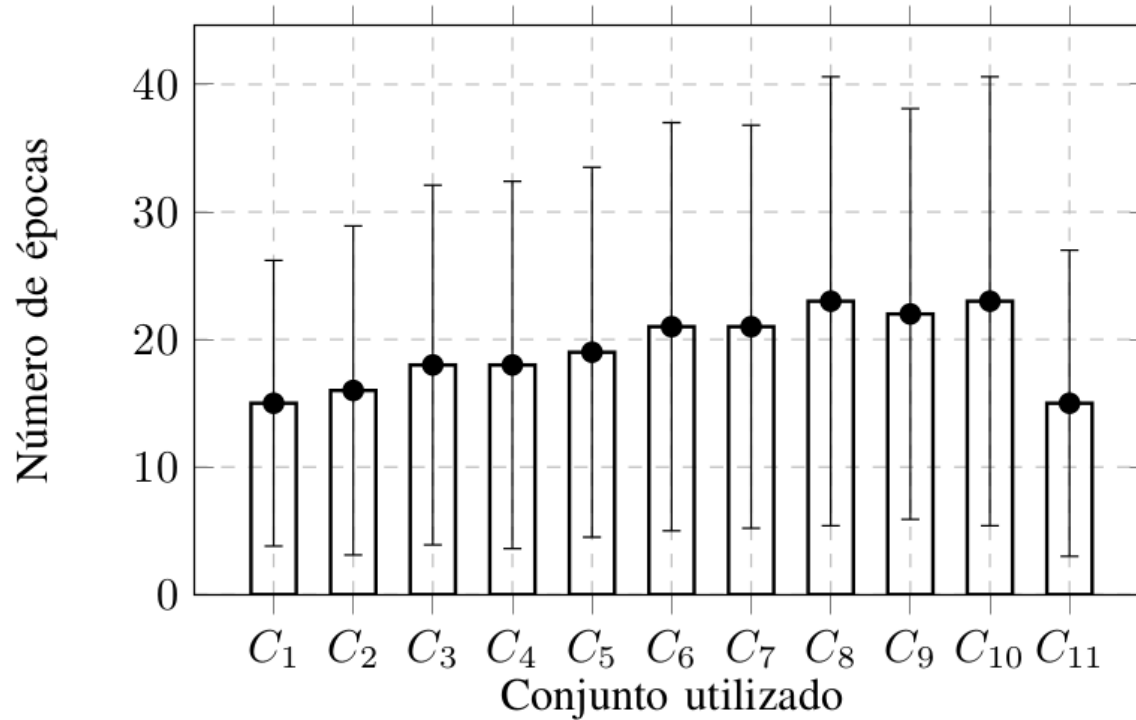
Experimento 2

Resultados do Experimento 2						
$C_i[k_i, n_i]$		Épocas		Tempo [micro]		Volume de Dados [B]
k_i	n_i	médio	σ	médio	σ	
1	1024	15	3.8	1188	308.8	1925
2	512	16	3.1	1210	209.9	2056
4	256	18	3.9	1263	305.2	2317
8	128	18	3.6	1325	306.8	2455
16	64	19	4.5	1570	427.9	2605
32	32	21	5	1453	309	2645
64	16	21	5.2	1575	350.4	2861
128	8	23	5.4	1751	411	3317
256	4	22	5.9	2010	413	3685
512	2	23	5.4	2485	506.7	4421
1024	1	15	3	2431	440.9	3843

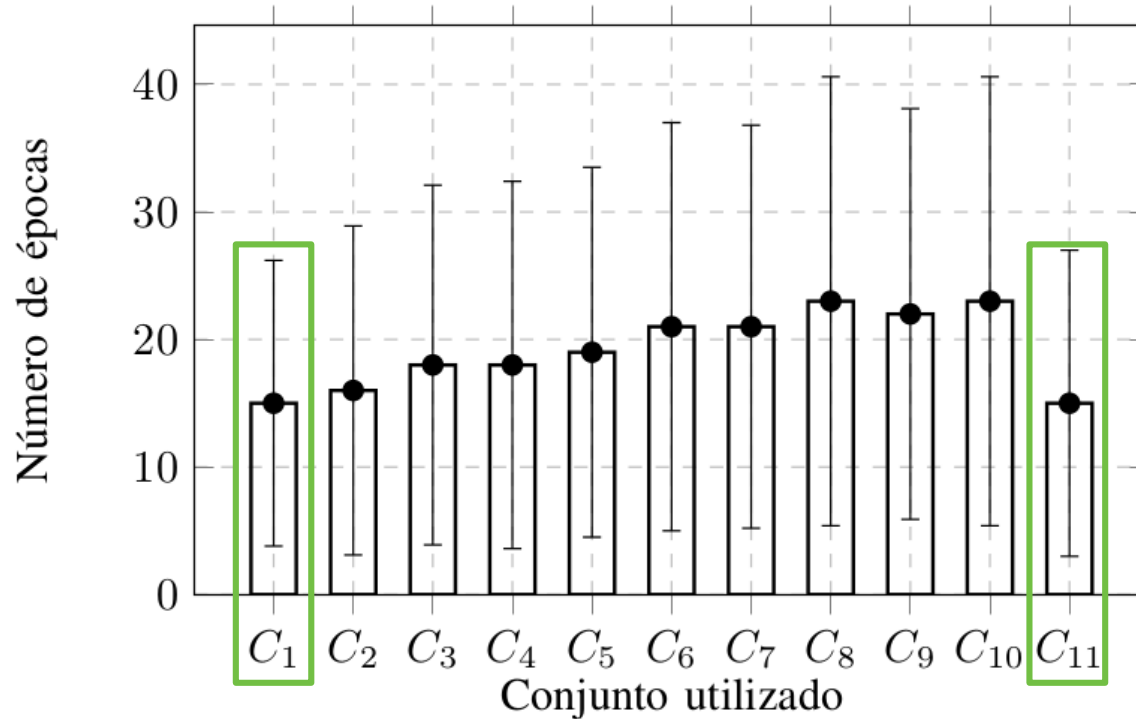
Experimento 2

Resultados do Experimento 2						
$C_i[k_i, n_i]$		Épocas		Tempo [micro]		Volume de Dados [B]
k_i	n_i	médio	σ	médio	σ	
1	1024	15	3.8	1188	308.8	1925
2	512	16	3.1	1210	209.9	2056
4	256	18	3.9	1263	305.2	2317
8	128	18	3.6	1325	306.8	2455
16	64	19	4.5	1570	427.9	2605
32	32	21	5	1453	309	2645
64	16	21	5.2	1575	350.4	2861
128	8	23	5.4	1751	411	3317
256	4	22	5.9	2010	413	3685
512	2	23	5.4	2485	506.7	4421
1024	1	15	3	2431	440.9	3843

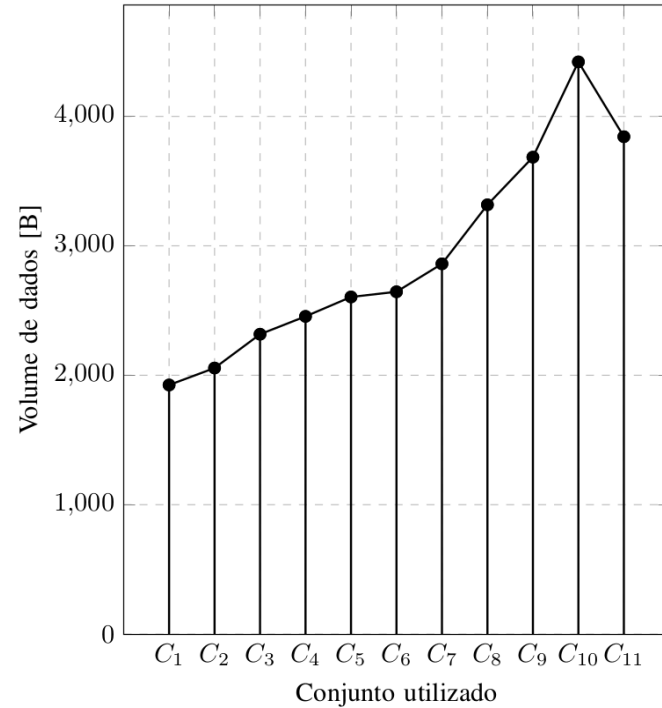
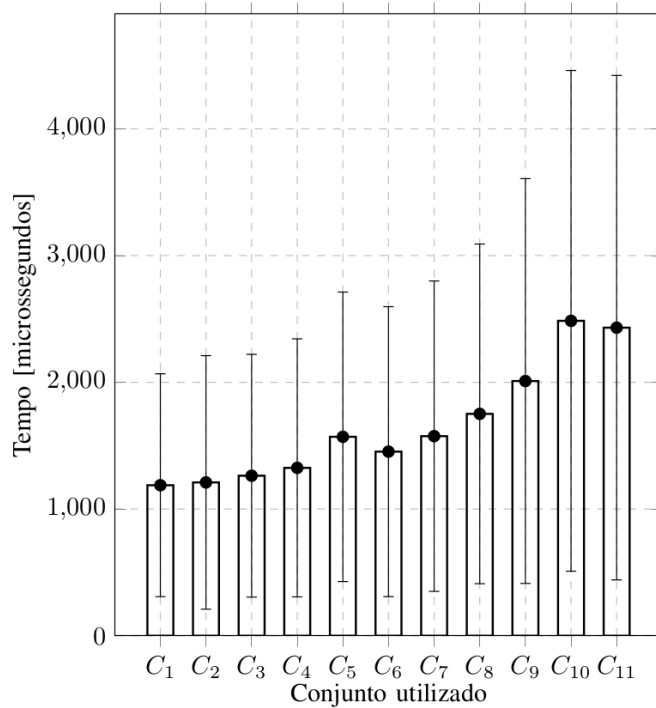
Experimento 2



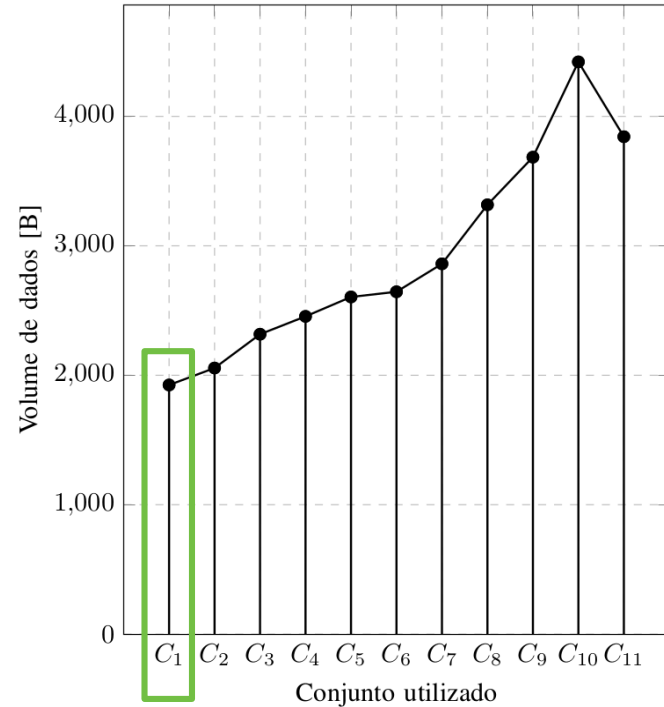
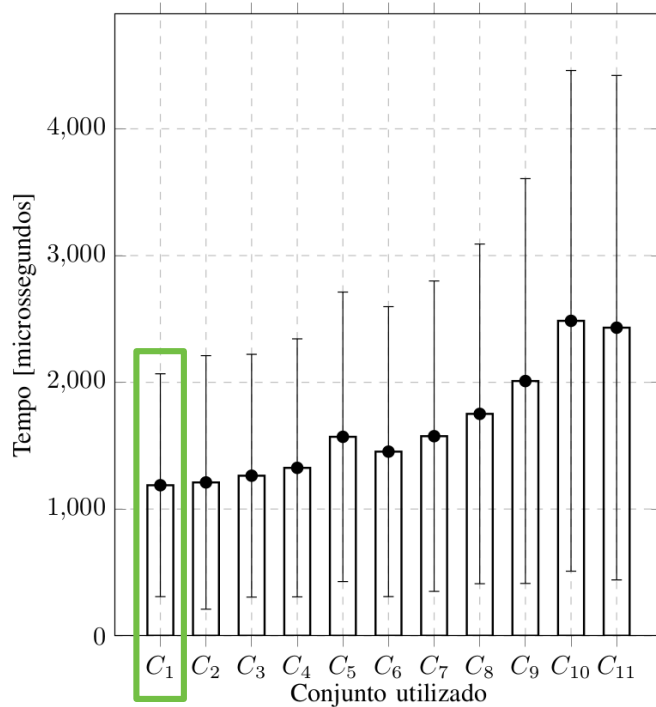
Experimento 2



Experimento 2



Experimento 2



→ Influência do BIAS

$$I_{[1,1024]} = (1024 \times 1) + 1 = 1025$$

$$I_{[K,N]} = (K \times N) + K$$

$$I_{[1024,1]} = (1 \times 1024) + 1024 = 2048$$

→ Influência do BIAS

$$V[Bytes] = \frac{epochs_avg \times [(K \times N) + K + 2]}{8}$$

$$V_{[1,1024]} = \frac{15 \times [(1 \times 1024) + 1 + 2]}{8} = 1925[B]$$

$$V_{[1024,1]} = \frac{15 \times [(1024 \times 1) + 1024 + 2]}{8} = 3843[B]$$

- Parâmetros ótimos
- Regra de aprendizado: **Anti-Hebbian**
- Função de ativação: **Sinal**
- K: **1**
- N: **1024** (Comprimento da chave)

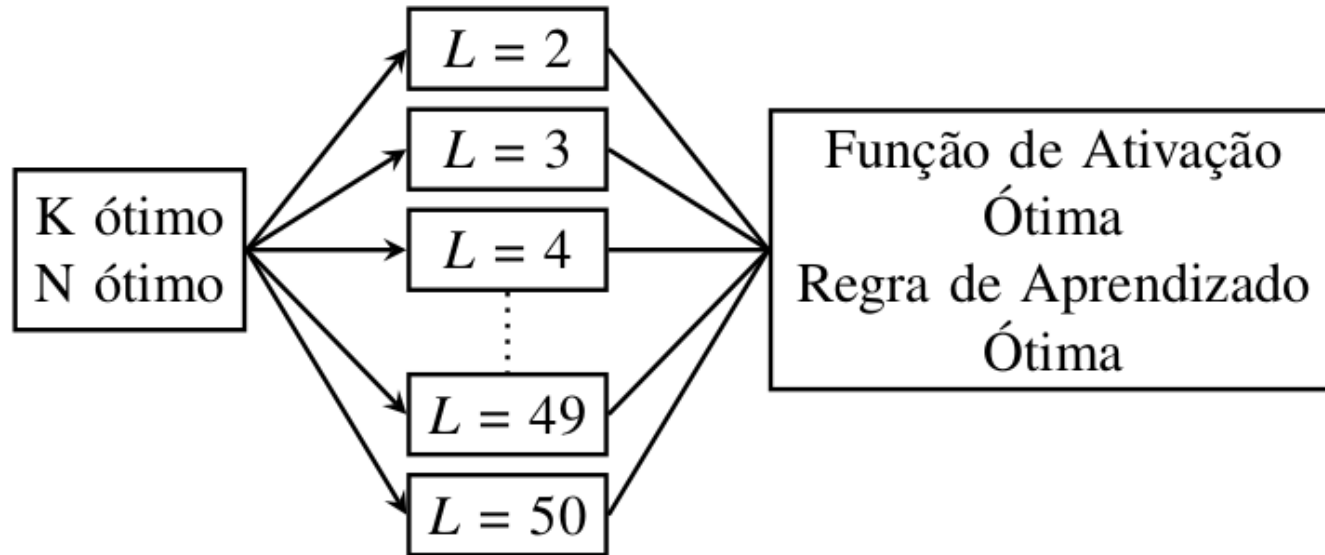
Parâmetro **K** mais eficiente: **1**
Parâmetro **N** mais eficiente: **1024**



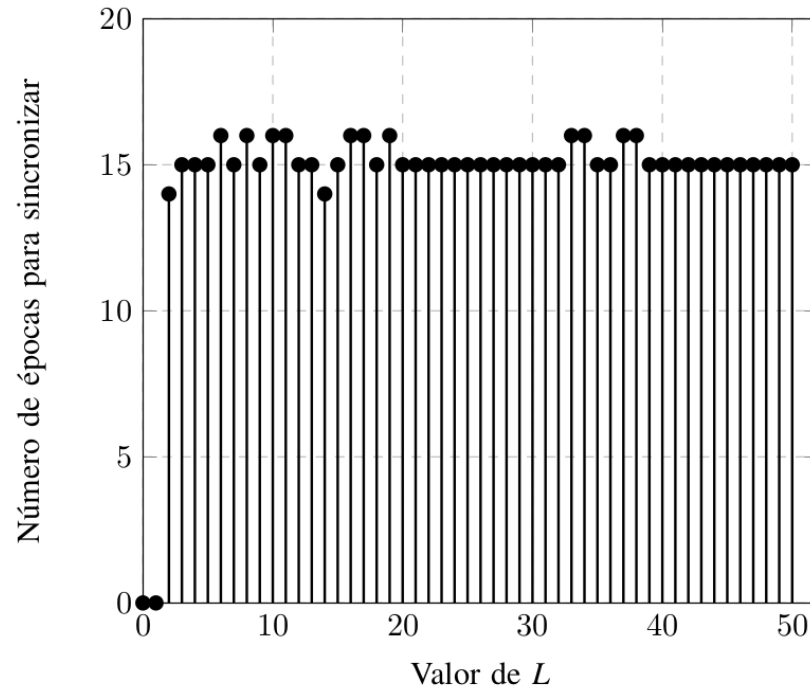
Experimento 3

Experimento 3

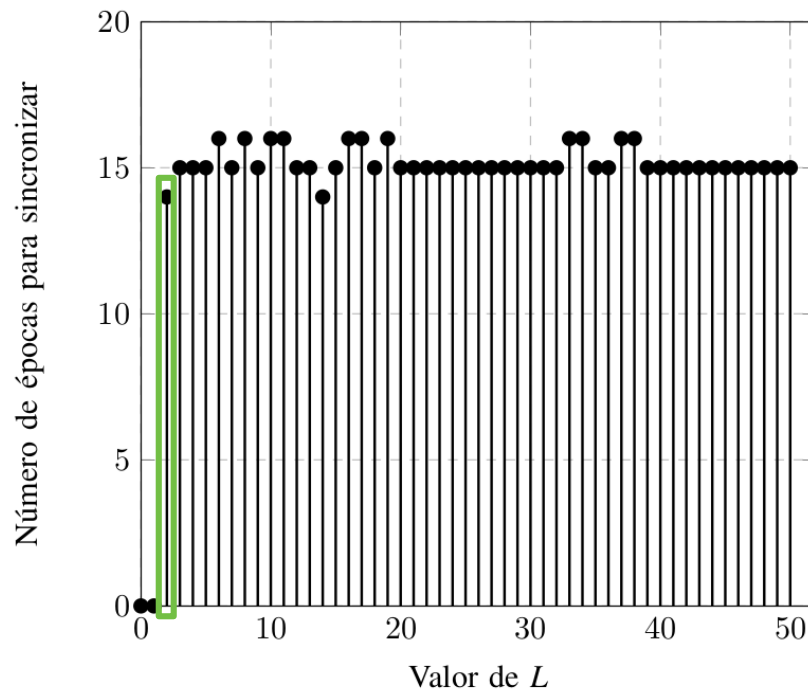
→ Aferir influência de L



Experimento 3



Experimento 3



Experimento 3

- Parâmetros ótimos
- Regra de aprendizado: **Anti-Hebbian**
- Função de ativação: **Sinal**
- K: **1**
- N: **1024** (Comprimento da chave)
- L: **2**

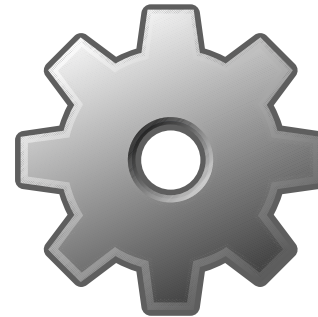
Parâmetro **L** adotado: **2**



Experimento 4

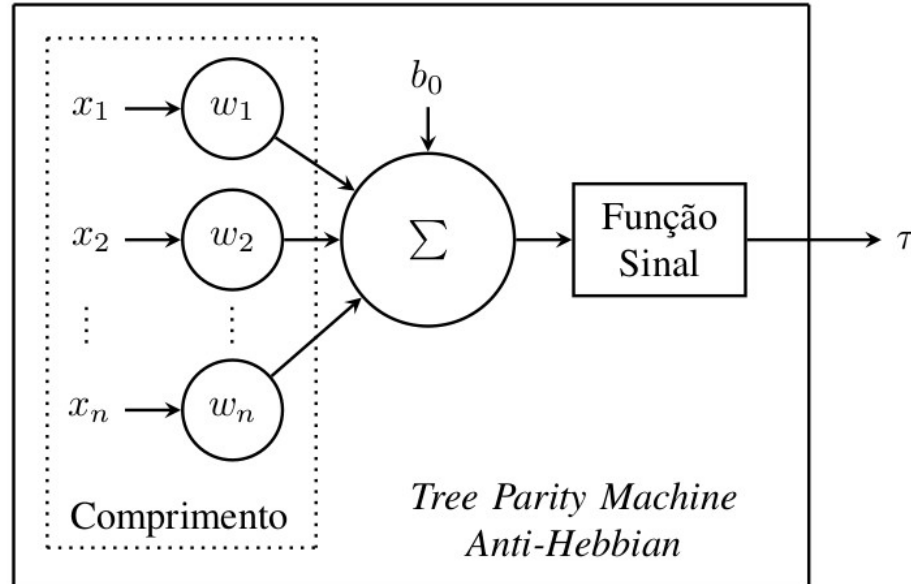
Experimento 4

- Parâmetros já foram individualmente analisados
- Gerar chaves criptográficas binárias de **10Kib** (10.240 bits)
- Grupo 1 de **1.000 chaves**
- Grupo 2 de **10.000 chaves**

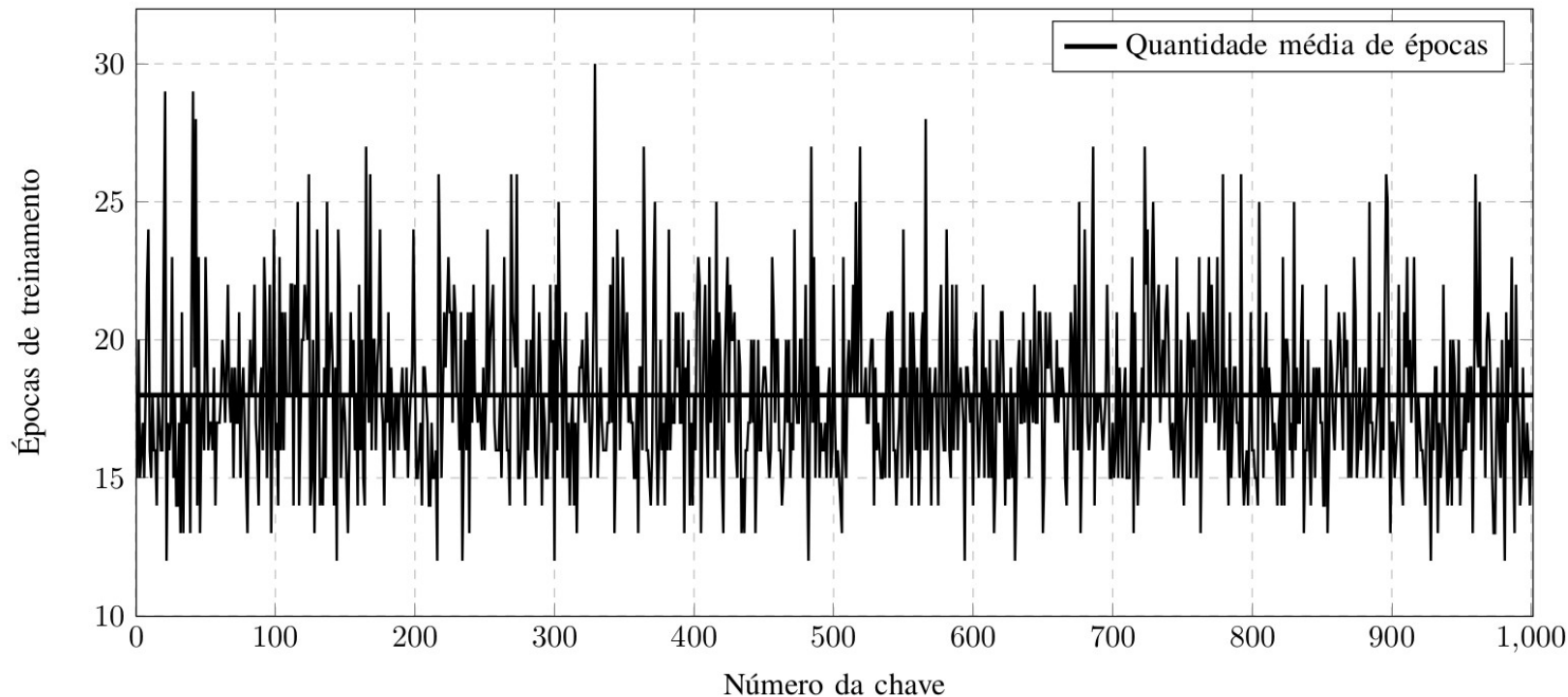


Experimento 4

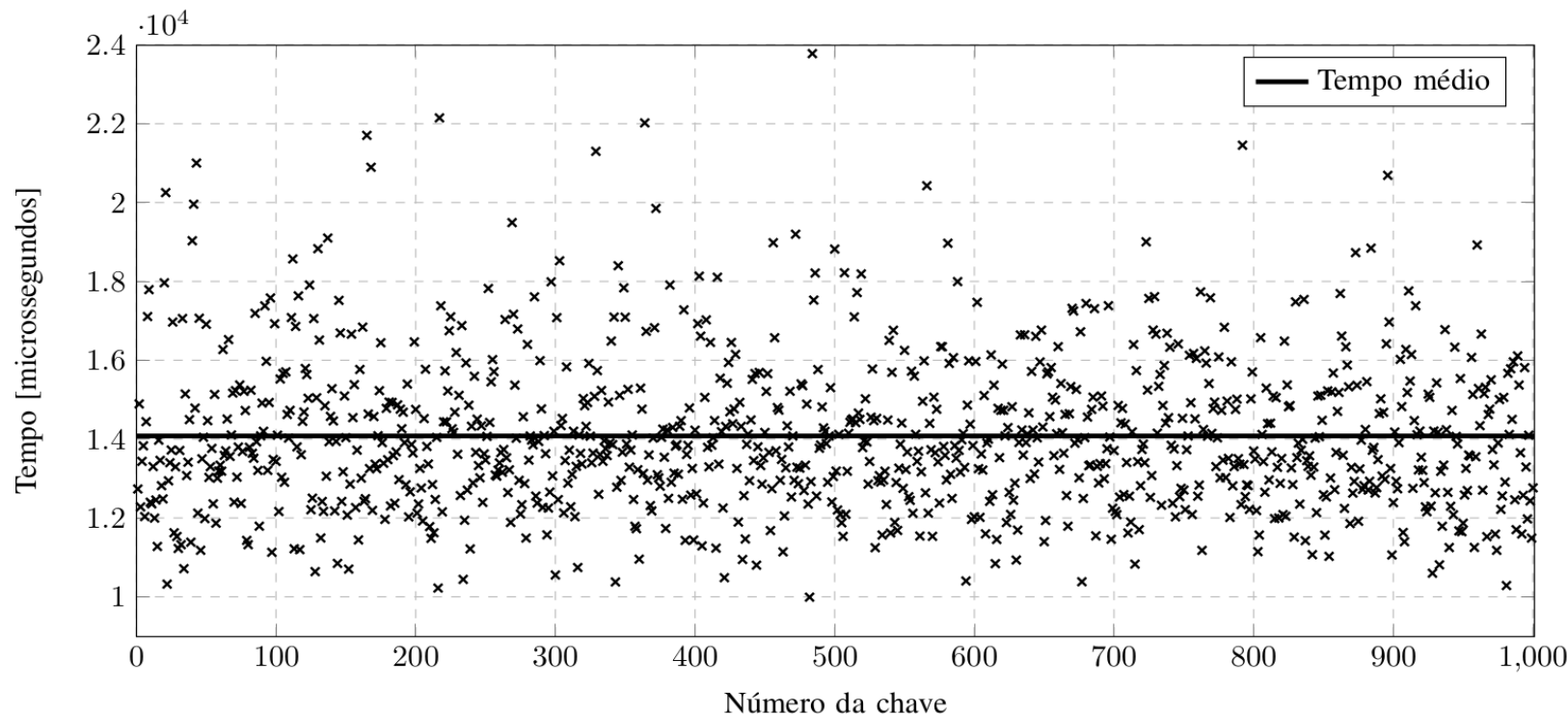
→ Estrutura ótima



Experimento 4



Experimento 4



Experimento 4

Resultados do Experimento 4

Configuração Ótima	Número de Chaves	Número de Épocas				Tempo [microsegundos]				Volume de Dados [B]	Chaves Repetidas
		min	max	médio	σ	min	max	médio	σ		
$K = 1$ $N = 10240$ $L = 2$ Sinal	1000	12	30	18	3	9991	23778	14080	1928.6	23046	0
<i>Anti-Hebbian</i>	10000	11	42	18	3	9673	24824	14016	1865	23046	0

Experimento 4

Resultados do Experimento 4

Configuração Ótima	Número de Chaves	Número de Épocas				Tempo [microsegundos]				Volume de Dados [B]	Chaves Repetidas
		min	max	médio	σ	min	max	médio	σ		
$K = 1$ $N = 10240$ $L = 2$ Sinal	1000	12	30	18	3	9991	23778	14080	1928.6	23046	0
Anti-Hebbian	10000	11	42	18	3	9673	24824	14016	1865	23046	0

Inatel
Instituto Nacional de Telecomunicações

100

Experimento 4

A2709E6F57D99F5E39FF8FF3E3F5FEBDB57F76DF6A16BFFF3B1D87CF510FB9FC6FEE06F6EA8EF7DB1EF7FFCF3F393FC32BFEE7FF6E3D75A8F
B2E8C77DEF113F7D7FD95FF4C63D5FBDDBFEFE7F8E49D4CF7DF6FF6F9DBFFEE667C1DF7ADCEE38F7FAB9F46FFFFED75FBDDEBFFB0CC3EDBF
7BF77E5F9EDBDF727FFF8BB6FB257CF2BDF9C86D3CAED9EDEF88FFD09FFF573C7977CEA9FE7B8F039EDF7ADBC427E8EABC8AECFDF97F6D
AFF66FDFBFFB6DAB7F9FD077B079F6FD49D7CD9B3377A33CA725FFEFDDB25FFCFFFFCD779A5A13B97F77DDE595C6F9DD5C163E6FBA5FA7F1
BB9F6F054FE339EE7F7DDFC545CBDED30F7ECD33FA56F27F7F6D3FE28F678FFDB77AFD67BDD4FBBA77DF5DCBF8FFDEFFED7B76BAD2CFE7
FE677EBBDCE7FCCE67CF64DEEFF1FFFE77873FB8F19EDBC5655DEAEEB4951EAFDD9BD5769E7C59DDF62FDFFF32FFDF4725FEDF7DFEBBF
B9EBEBBF71F1FE7D83D8FFD5BCB75F0AE6F3AF6EEAFCEBD0EFD3A6CBECB3AC4ECED17CE67F7F852B441F5B9DBB9D636CE7DFDBDD3EFBE
BBA654DD7B7BE4D763DBFD777BEFE7F6DE2AD47155ED514F3C3C987D2D7DDB6FABF58BB5E949F9AF2BEBFA6BE3D536C79FDDD5BBD6BFFC
F1F2DF49DAF6B0775D685B977FA57B55CE9CFBDBDB67F1ADAC8D67EA2B6ED8DD59B2ED5FFFBA9B2FEAC87EF25FFC5ACF15FFBE72FFBFF9
C35EA6EE2EEEC956DEFED5359FDB49B7CB1CB58E7F53E279F387FFDAA5FF5146FF5DEEFFBA96BBB7B19C0CDFCE657E17E999D57DD7A7E6
2AD3FB6E57F5EB2F475B35F6FCA79ABFB7F378D42F93FF49FF79655FFBEA67655F6F53BBB8FACE116C9F70FCEDBCB59EFBF7FEEDEBAAF00E
7E57BF8F17F5F75D4C59FF4AD7BEFDB7EBBE74876DADF5DF69532FEA09EFF36DB85953BE82E3BBBF2337BFC976F9E787097B2CBBF7FF7E6EF
39F3FF5B3ED5B5AD8E3F31FDA7371F50C77B3BFEFDE77156E778E4FF4794FBA667BEF01B3DA1EB54DFFFBCEBF5B3DFD0C7F7F7FDC36ADFC
FFD7F5FE27DEEDEFAAF8FD3CA76DC75C7055398EB5EF8BEDFD7493F4FD73C7914E7F3F75BBEFAE533ACE4EBEFBEFEBB2FDB92BB29F3B868
FFD3DB697AFFFF713BCFD661FB174FBE7FD4AFBCFAE5F3BF845D97DDBBD14A4BEAFEE62F5E7A2D44B5F67FD7AAF6F5BF73D7FEE6BCFB6D5
3B66F87AA463BFDDBFE34CFBBFA7B6FBE4BC393BFDDB1FDEE6F635DEE63B76ABFD2F4B37F7FEF978DD34973379325FCF792FDCF5E3E7A65FD72
DE4B7747614D377D8A8D97D7BD9FD6C5D7B37F8635D7B4B5FAB957E77ECDFFBFC53CF9F8BAEFA4E5B13CDAAAF7C0A2DFFF5BDDFE7CB8
D3C15AB7FFAE2174EF5DB7B9E745FAE6DFFF9E588FF6FB4CF7F3DFFEFAB2EDF5F2F389EC1FFE6E7EFD6B7D9277D4606793CBBA7AF77FEE86
B74DE86B5FEFDBBB59CFEFC7D77666703F7F376D9F5BDFDFCFFBDBFF76BBBEAB25DADF4EF9775AAD12B5BDBD1F6E01D2E63336F2795A45D
11EBF3F9DDF226EFD3BED79E5DFFFACFFD53FE5E2AFFBFE5BE742F83DFC5B9E83FDD4C53FA2BC03EBBB36FBEFFFF4FF7F65CE76F2B562EDF
E779C83EDFAF91FD771FF9E2F5A5FC07BF75A7BC3FBC7EA2F3FDA9F37AE7D33FF225C79F9FBF593DE32FEF8F59DEB442BFBF9E6AB0B7FD65
F3F0F7BDBD7C9B7FDFBB3F6DAFACBFAB9FB3398BEF7F5FC2E9DCF4EDF1F763AD30F37DFB71CD66BFDCFF6362B77EAF3D9E7BDF8EC3EF56
9E9B3FC0BFD0BF1F7B5ECE16777FCB97C772DF45FBFEB23B75FEDF1FFFB3CD3F27B7387A9DFC50C59EBDCD2FED47F1B9FBF6F6960DBF7F7
3E7FF6DF9

Conclusão

- O **patrimônio intelectual** vêm sendo a propriedade mais **valiosa** nas empresas
- Os principais **algoritmos** criptográficos são **open source**
- As **chaves** criptográficas **garantem** a segurança dos dados
- A **geração** e **troca** de chaves em sistemas reduzidos podem ser **ineficientes**
- Uma **configuração ótima** para esta implementação foi alcançada
- Geração de **10.000** chaves de **10Kib consecutivas distintas** em **14ms** por chave

Trabalhos Futuros

- Estudo de **vulnerabilidade**
- Submeter a técnica aos **ataques** clássicos:
 - Ataque simples
 - Ataque geométrico
 - Ataque de maioria
 - Ataque genético
- Implementar mecanismo de **realimentação** (*feedback*)



Redes Neurais Artificiais Aplicadas à Geração de Chaves Criptográficas Binárias

Gustavo Pasqua de Oliveira Celani
Marcelo Vinícius Cysneiros Aragão